

ОСОБЕННОСТИ СПЕКТРАЛЬНЫХ ХАРАКТЕРИСТИК ТОНКОПЛЕНОЧНЫХ ФОТОПРЕОБРАЗОВАТЕЛЕЙ

НА ОСНОВЕ $a\text{-Si : H}$

С ЗЕРКАЛЬНО ОТРАЖАЮЩИМ ТЫЛЬНЫМ КОНТАКТОМ

Манаков С. М., Сулейменов Б. С., Таурбаев Т. И., Дрюков В. Г.

Предложена модельная структура для расчета спектральной зависимости коэффициента сопирания носителей заряда в тонкопленочных фотопреобразователях (ФП) на основе аморфного гидрогенизированного кремния ($a\text{-Si : H}$) с зеркальным отражением света от тыльного контакта. При количественных расчетах спектральных характеристик использовались значения физических параметров конкретного материала $a\text{-Si : H}$. Определено оптимальное значение толщины ФП, при котором величина тока короткого замыкания максимальна. Показано, что предложенная модель хорошо описывает интерференционные эффекты в тонкопленочных ФП.

Введение. Повышение эффективности сопирания носителей заряда в фотопреобразователях (ФП) на основе аморфного гидрогенизированного кремния $a\text{-Si : H}$ достигается главным образом благодаря оптимизации параметров нелегированного материала и контактных слоев P^+ и N^+ [1]. Для дальнейшего увеличения эффективности сопирания используется отражающее покрытие на тыльной поверхности элемента. Поскольку толщина активного слоя ФП составляет обычно 0.3—1.0 мкм, в фотопреобразователях с зеркальным отражением света от тыльного контакта проявляются интерференционные эффекты, дающие вклад в увеличение эффективности преобразования [2]. Результаты расчета поглощения фотонов в тонкопленочном элементе $a\text{-Si : H}$ с отражающим тыльным контактом, полученные с помощью моделирования на ЭВМ [3], показывают, что при определенных толщинах пленок $a\text{-Si : H}$ появляются относительные максимумы интегрального поглощения солнечного спектра, и, следовательно, — условия для увеличения эффективности ФП.

Однако в настоящее время в литературе отсутствует детальное сранение результатов расчета эффективности сопирания носителей заряда и экспериментальных данных для ФП с отражающим тыльным контактом. В данной работе представлена методика расчета коэффициента сопирания $a\text{-Si : H}$ ФП с тыльным отражающим контактом и результаты ее экспериментальной проверки на конкретных элементах.

1. Изготовление структур

Пленки аморфного гидрогенизированного кремния изготовлены путем разложения смеси 20 % SiH_4 +80 % Не в тлеющем разряде постоянного тока при температуре 270 °C. Для получения фоточувствительных структур (рис. 1) пленки $a\text{-Si : H}$ осаждались на кварцевые или стеклянные подложки, предварительно покрытые слоем SnO_2 , представляющим широкозонный ($E_g=3.5$ эВ) вырожденный полупроводник N -типа проводимости. Толщина слоев $a\text{-Si : H}$ варьировалась в пределах 265—825 нм. В качестве тыльного контакта использовался слой иттербия, металла с малой работой выхода, обеспечивающего омический контакт с $a\text{-Si : H}$. Использование таких простейших поверхностно-

барьерных структур, содержащих только слой $a\text{-Si : H}$ с собственным типом проводимости, позволяет упростить их анализ, хотя методика анализа применима и для более сложных структур ($P-I-N$, варизонных, каскадных и др.).

2. Расчет коэффициента сопирания

Для определения спектральной зависимости коэффициента сопирания слой $a\text{-Si : H}$ толщиной d (рис. 1) разобьем на две области: $0 \leq x \leq W$ и $W < x \leq d$, где W — толщина области эффективного сопирания. Предполагается, что в слое толщиной W квантовый выход внутреннего фотоэффекта равен единице и отсутствует рекомбинация на границе раздела $a\text{-Si : H}-\text{SnO}_2$. Внутренний коэффициент сопирания структуры (рис. 1) $Q_i(\lambda) = J_{sc}/e\Phi_i$ (J_{sc} — плотность фототока короткого замыкания, Φ_i — плотность потока фотонов, вошедших в образец, e — заряд электрона) и определяется выражением

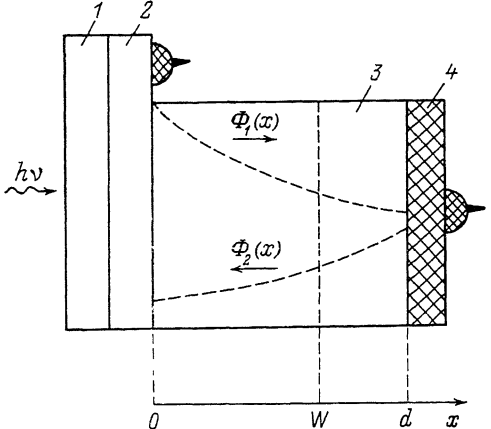


Рис. 1. Структура $a\text{-Si : H}$ ФП.

1 — подложка (кварц, стекло), 2 — прозрачный проводящий электрод (SnO_2), 3 — слой $a\text{-Si : H}$, 4 — тыльный отражающий контакт.

$$Q_i(\lambda) = \alpha(\lambda) \int_0^W \frac{\Phi_3(x)}{\Phi_i} dx, \quad (1)$$

где $\alpha(\lambda)$ — коэффициент поглощения $a\text{-Si : H}$, $\Phi_3(x)$ — плотность потока фотонов в сечении x , представляющая сумму падающего $\Phi_1(x)$ и отраженного от тыльного контакта потока фотонов $\Phi_2(x)$ (рис. 1). Приняв во внимание интерференцию для однократного отражения света от тыльного контакта и то, что квадрат амплитуды электрического (или магнитного) поля пропорционален плотности потока фотонов, а также, учитывая зависимость плотности потока фотонов от координаты $\Phi(x) = \Phi_i \exp(-\alpha d)$, получим

$$\Phi_3(x) = \Phi_i \left\{ \exp(-\alpha x) + 2\sqrt{R} \exp(-\alpha d) \cos \left[\frac{4\pi}{\lambda} (d - x) n(\lambda) \right] + R \exp[-\alpha(2d - x)] \right\}, \quad (2)$$

где R — коэффициент отражения материала тыльного контакта, $n(\lambda)$ — коэффициент преломления $a\text{-Si : H}$. После подстановки (2) в (1) получим

$$Q_i(\lambda) = 1 - \exp(-\alpha W) + \frac{\sqrt{R}}{2\pi} \lambda \alpha \exp(-2\alpha d) \left\{ \sin \left(\frac{4\pi}{\lambda} dn \right) - \sin \left[\frac{4\pi}{\lambda} (d - W) n \right] \right\} + R \exp(-2\alpha d) [\exp(\alpha W) - 1]. \quad (3)$$

Отметим, что $Q_i(\lambda) \rightarrow 1$ для значения $\alpha \approx 10^5 \text{ см}^{-1}$, которое достигается в коротковолновой области спектра.

Спад коротковолновой чувствительности за счет диффузии электронов против электрического поля E будем описывать выражением из работы [4]:

$$Q_e = 1/(1 + eE/\alpha kT), \quad (4)$$

где e — постоянная Больцмана, T — температура.

Предполагая, что электрическое поле постоянно в области $0 \leq x \leq W$ и равно $E = V_b/W$, где V_b — встроенный потенциал, получим окончательное выражение для коэффициента сопирания:

$$Q(\lambda) = Q_i(\lambda) - Q_e(\lambda). \quad (5)$$

Для вычисления $Q(\lambda)$ необходимо определить спектральные зависимости коэффициентов $\alpha(\lambda)$ и $n(\lambda)$. При энергии фотона $h\nu$, превышающей оптическую ширину запрещенной зоны E_g , зависимость $\alpha(h\nu)$ описывается уравнением Тауца [5]:

$$(\alpha h\nu)^{1/2} = B(h\nu - E_g), \quad (6)$$

где B — параметр, зависящий от свойств $a\text{-Si : H}$. Для $h\nu < E_g$ спектральная зависимость $\alpha(h\nu)$ соответствует закону Урбаха [5]:

$$\alpha(h\nu) = \alpha_0 \exp\left(-\frac{h\nu}{E_0}\right), \quad (7)$$

где α_0 и E_0 — параметры, определяемые свойствами материала $a\text{-Si : H}$. Спектральную зависимость коэффициента преломления аппроксимируем выражением

$$n(\lambda) = \frac{A}{\lambda^2} + C, \quad (8)$$

где A и C — постоянные.

Таким образом, для расчета спектральной характеристики необходимо численно задать 10 параметров: E_g , A , B , C , d , α_0 , E_0 , R , V_b , W . Значения их найдем, опираясь на экспериментально измеренные физические параметры для конкретной структуры и материала $a\text{-Si : H}$.

3. Определение исходных параметров

Первые 5 параметров находились из спектров пропускания пленок $a\text{-Si : H}$, выращенных на кварцевых подложках, расположенных в реак-

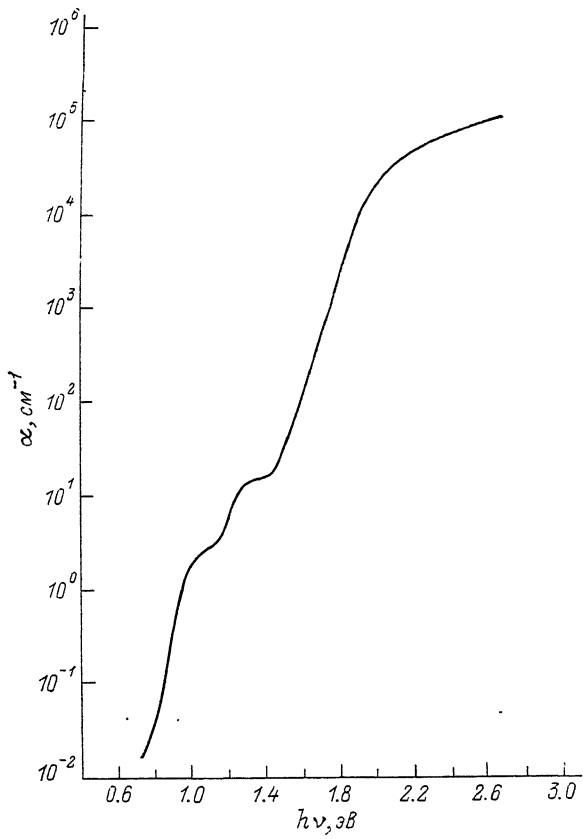


Рис. 2. Спектральная зависимость коэффициента поглощения $\alpha(h\nu)$ в $a\text{-Si : H}$.

торе рядом с формируемыми структурами. Спектры пропускания снимались на установке КСВУ-23 и обсчитывались на ЭВМ по методике, изложенной в [6]. Проведенные измерения дали следующие результаты: $E_g=1.72-1.74$ эВ, $B=830-850$ эВ $^{-1/2}$ \cdot см $^{-1/2}$; $A=3\cdot10^5$ нм 2 , $C=2.7-2.75$.

Для фотонов с энергией $h\nu < E_g$ спектральная зависимость коэффициента поглощения определялась методом постоянного фототока [7]. На рис. 2 представлена типичная для полученных образцов зависимость $\alpha=f(h\nu)$, из которой следует, что $E_0=0.06$ эВ и $\alpha_0=770$ см $^{-1}$. Коэффициент отражения R взят равным 0.9; значение встроенного потенциала V_b определялось из зависимости напряжения холостого хода V_{oc} ФП от V_b , приведенной в [8]. Для данной серии ФП величина V_{oc} при освещении, близком к АМ 1.5, составляла 0.36—0.4 В, и соответствующее значение $V_b=0.4$ В.

Спектральные характеристики снимались в диапазоне 390—730 нм по модуляционной методике на установке, созданной на базе КСВУ-23. С целью исключ-

чения влияния разброса толщины и спектральной зависимости коэффициента пропускания пленок SnO_2 перед каждым процессом осаждения слоя $a\text{-Si : H}$ снимался спектр пропускания пленок SnO_2 на кварце. При получении «внутренней» спектральной характеристики фоточувствительной структуры учитывался измеренный спектр пропускания SnO_2 .

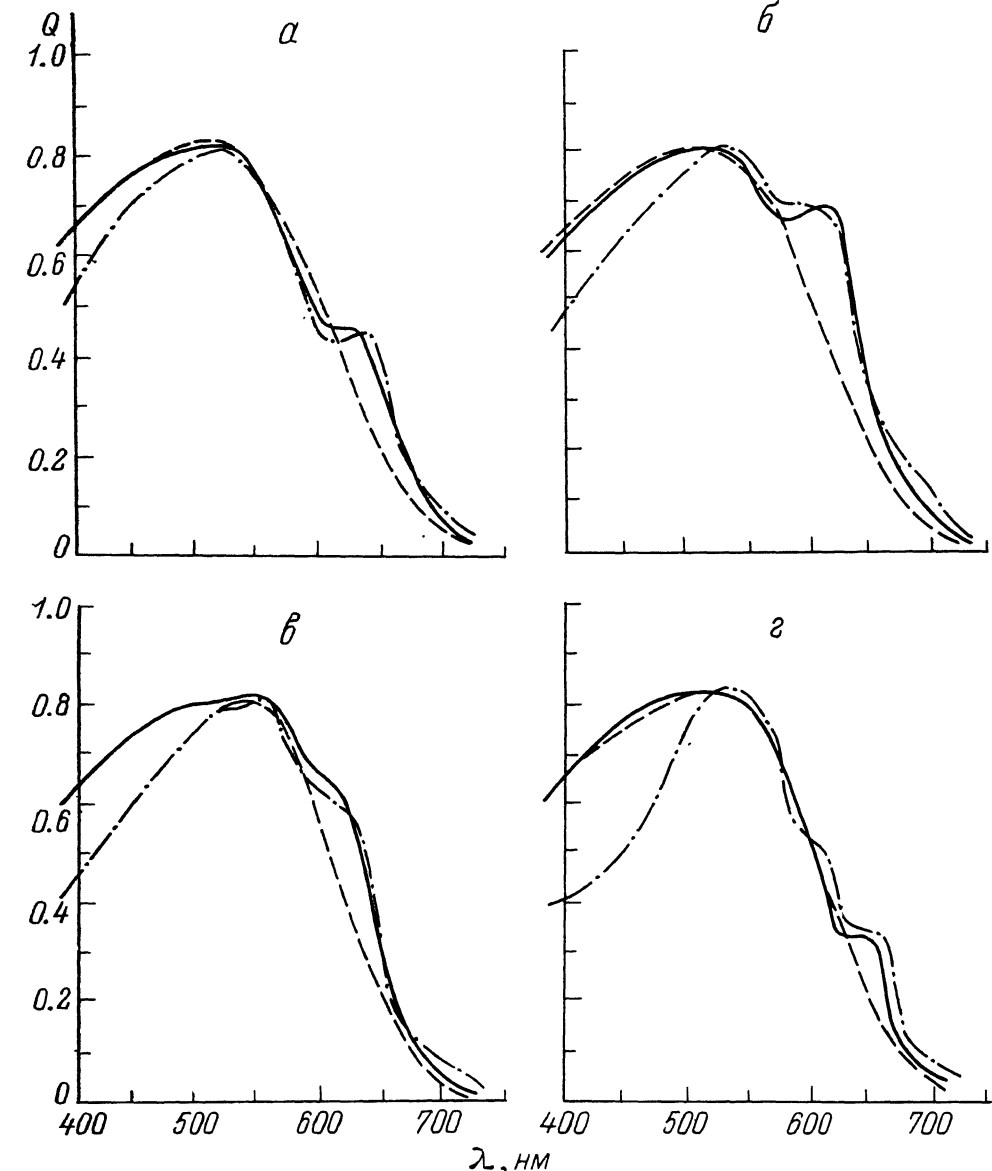


Рис. 3. Спектральные зависимости коэффициента сорбции $a\text{-Si : H}$ ФП.
 d , нм: *a* — 265, *b* — 335, *c* — 410, *d* — 825. Сплошные линии — расчет при $R=0.9$, штриховые — расчет при $R=0$, штрих-пунктирные — эксперимент.

Для определения толщины области сорбции снимались спектральные характеристики «толстых» ($d=1000\text{--}1500$ нм) ФП, для которых интерференционные эффекты незначительны; далее, в соответствии с методикой, описанной в [9], определялась толщина области сорбции. Для толстых ФП значение W составляло 210–230 нм. При дальнейших расчетах использовалось среднее значение $W=220$ нм.

4. Сравнение расчетных и наблюдаемых спектральных характеристик

На рис. 3 представлены результаты вычисления коэффициентов сопирания $a\text{-Si : H}$ ФП для различных значений толщины i -слоя. На этих же графиках нанесены спектральные зависимости $Q(\lambda)$, полученные экспериментально. Как видно из прилагаемых графиков, интерференционные явления играют значительную роль для длин волн $\lambda > 500$ нм, что сказывается на увеличении спектральной чувствительности в длинноволновой области. Наблюдается удовлетворительное совпадение относительных максимумов и минимумов для расчетных и экспериментальных кривых. Отклонение расчетных значений от экспериментальных кривых. Отклонение расчетных значений от экспериментальных в коротковолновой области спектра ($\lambda < 500$ нм), видимо, вызвано недостаточно корректным предположением об однородности электрического поля в пределах

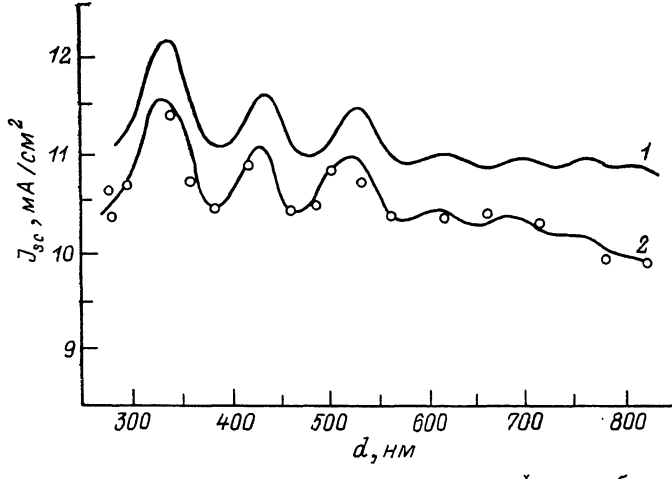


Рис. 4. Зависимость плотности тока короткого замыкания фотопреобразователей от толщины.

1 — расчет по формуле (5), 2 — расчет с учетом потерь коротковолновой чувствительности, точки — эксперимент.

области сопирания и отсутствии рекомбинации носителей заряда на границе раздела $\text{SnO}_2 - a\text{-Si : H}$. Кроме того, отметим, что увеличение толщины i -слоя сопровождается спадом коротковолновой чувствительности. Наиболее вероятной причиной этого является эффект накопления избыточных носителей заряда в области слабого поля, возрастающий с увеличением толщины этой области и приводящий к возрастанию диффузии электронов против электрического поля.

Спектральные зависимости коэффициента сопирания были рассчитаны и для случая полностью поглощающего тыльного контакта ($R=0$) и представлены на рис. 3. Из сравнения зависимостей $Q(\lambda)$ для отражающего ($R=0.9$) и поглощающего ($R=0$) тыльных контактов видно, что интерференционные эффекты оказывают существенное влияние на спектральные характеристики при малых толщинах i -слоя $a\text{-Si : H}$ ($d < 530$ нм) благодаря увеличению числа низкоэнергетических фотонов, поглощенных в слое W , эффективно разделяющим фотогенерированные носители заряда. При увеличении толщины образца (рис. 3, г) влияние интерференции снижается в результате увеличения поглощения низкоэнергетических фотонов в области слабого поля ($d = W$). Кроме того, на графиках зависимости $Q(\lambda)$ ($R=0.9$) наблюдаются интервалы значений λ , для которых величина коэффициента сопирания меньше аналогичного значения для случая $R=0$ (рис. 3, а), т. е. наряду с увеличением спектральной чувствительности благодаря интерференции может наблюдаться и относительное уменьшение $Q(\lambda)$. Таким образом, варьирование только одного параметра d при неизменности остальных позволяет эффективно изменять спектральные характеристики пленочных ФП.

Для выяснения влияния, оказываемого интерференцией на эффективность преобразования световой энергии в электрическую, рассчитаем величину плот-

ности тока короткого замыкания (J_{sc}) $a\text{-Si : H}$ ФП для стандартных условий освещения АМ 1.5, используя вышеуказанные значения исходных параметров при различных d . Рассчитанная зависимость $J_{sc} = f(d)$ представлена на рис. 4, кривая 1. Данная зависимость имеет осциллирующий характер. С увеличением толщины i -слоя амплитуда осцилляций уменьшается и J_{sc} асимптотически стремится к значению J_{sc} для ФП с $R=0$. Учет спада коротковолновой чувствительности изменяет данную зависимость, как показано на рис. 4, кривая 2. Относительные максимумы J_{sc} имеют место при $d=335, 430$ нм и т. д. Уменьшение толщины i -слоя сопровождается увеличением коэффициента заполнения ВАХ при освещении за счет снижения последовательного сопротивления ФП. При толщинах $d < 250$ нм происходит уменьшение толщины области соприкосновения и коэффициента заполнения в результате неполного зараживания $a\text{-Si : H}$ и ухудшения его качества.

Таким образом, для $a\text{-Si : H}$ ФП со значением параметра $W=220$ нм толщина i -слоя $d=335$ нм является оптимальной для эффективного сбора носителей заряда.

Заключение. Экспериментальная проверка предлагаемой модели для расчета $Q(\lambda)$ показывает, что она хорошо учитывает интерференционные эффекты в тонкопленочных фотопреобразователях на основе $a\text{-Si : H}$ и дает возможность проводить оптимизацию спектральных характеристик ФП с зеркально отражающим тыльным контактом, используя известные зависимости характеристик получаемых пленок $a\text{-Si : H}$ от технологических режимов их выращивания. Применяемые в данной работе модельные представления могут быть использованы при рассмотрении ФП на основе полупроводникового материала с другими характеристиками ($a\text{-SiGe : H}$, $a\text{-SiC : H}$), а также более сложных конструкций тонкопленочных фотопреобразователей.

Список литературы

- [1] Аморфные полупроводники и приборы на их основе / Под ред. И. Хамакавы. М., 1986. 376 с.
- [2] Moustakas T. D. // Sol. Energy Mater. 1986. N 13. P. 373—384.
- [3] Den Boer W., Van Stijp R. M. // Proc. IV E. C. Photovoltaic Sol. Energy Conf. Stresa, 1982. P. 764—768.
- [4] Reichman J. // Appl. Phys. Lett. 1981. V. 38. N 4. P. 251—253.
- [5] Физика гидрогенизированного аморфного кремния. В. 2. Электронные и колебательные свойства / Под ред. Дж. Джоунглусса, Дж. Люковски. М., 1988. 448 с.
- [6] Swanepoel R. // J. Phys. E: Sci. Instrum. 1983. V. 16. P. 1214—1222.
- [7] Vanéček M., Abraham A., Stika O., Stuchlik J., Kocka J. // Phys. St. Sol. (a). 1984. V. 83. P. 617—623.
- [8] Hack M., Shur M. // XVI IEEE Photovoltaic Specialists Conf. San Diego, 1982. P. 1429—1430.
- [9] Moustakas T. D., Wronski C. R., Morel D. L. // J. Non-Cryst. Sol. 1980. V. 35-36. P. 719—724.

Казахский государственный
университет им. С. М. Кирова
Алма-Ата

Получена 28.12.1990
Принята к печати 14.05.1991